

Liénard 形非線形システムのリアブノフ関数に関する一考察

宮城雅夫* 宮城隼夫**

A study on Lyapunov functions for Liénard-type nonlinear systems

Norio MIYAGI and Hayao MIYAGI

In this paper, a generalized Lyapunov function Liénard-type nonlinear system which is important as a representative system expressing LRC electric circuits and mechanical spring systems etc., has been constructed using the Lagrange-Charpit method. The function includes particular nonlinear terms as arbitrary functions, by which the quadratic term appeared in the Luré-type Lyapunov function can be extended. The result yields all conventional Lyapunov functions as special cases, changing the forms of the arbitrary functions. To investigate the relation between the arbitrary function in the Lyapunov function and the stability region obtained, the stability boundaries for various types of the arbitrary functions are illustrated in the application to the simple system. In addition, numerical values of time derivative of the Lyapunov function along the stability boundary are calculated to study the relation between the stability region and the values of time derivative.

key words : Lienrd-type nonlinear systems, Lagrange-Charpit method, Stability, Lyapunov function

1. 緒 言

非線形システムのリアブノフ関数構成法にはボボフの条件から導かれる安定条件と等価な結果を与えるルーリエ形リアブノフ関数を得るボボフの方法¹⁾や級数近似によらない一般化された Zubov 法²⁾などがある。しかしながら、ボボフの方法は適用システムがいわゆる非線形フィードバック制御システムに限られ、独特な非線形項を有する Liénard 形システムにただち

に応用することはできない。また、一般化された Zubov 法では Zubov の偏微分方程式に現われるスカラーレンジを求めるための変換式を見い出すのは容易ではない。一方、文献 3 の可変勾配法は、リアブノフ関数の勾配 $\partial V/\partial x$ を最初に選定し、リアブノフ関数を構成する方法であるが、選定された勾配の各成分の係数を決めた後、リアブノフ関数の時間導関数や得られたリアブノフ関数の安定条件を繰り返し調べる必要がある。

1 個の簡単な Liénard 形非線形システムいわゆる Liénard の方程式⁴⁾に対しては、これまで幾つかのリアブノフ関数^{1), 2), 5), 6)}が報告されているが、本論文では、はじめに、それらのリアブノフ関数をすべて包含する任意関数を含む一般化リアブノフ関数¹⁾を文献 6 で提案されたグランジュ・シャルビ法を用いて構成

* 機械工学科

College of Technology, Dai-Ichi University

** 琉球大学工学部(〒903-0129 沖縄県中頭郡西原町字千原 1)

Faculty of Engineering Ryukyu University

する。この手法によれば、リアブノフ関数の時間導関数を任意に選べる利点がある。その任意関数の傾きがある値より小さくなるように選ぶことによって、これまで報告されているリアブノフ関数をすべて得ることができる。また、選ばれたそれぞれの任意関数に対するリアブノフ関数が保証する漸近安定領域は異なるので、その任意関数とリアブノフ関数が保証する漸近安定領域の関係を考察する。さらに、得られた漸近安定領域とその境界上におけるリアブノフ関数の時間微分値の関係も考察する。そして、おのおののリアブノフ関数が与える漸近安定領域とリアブノフ関数のしきい値との関係も考察する。

2. Liénard 形非線形システム

Liénard の方程式を一般化した Liénard 形非線形システムは、次式で与えられる。

$$\ddot{y} + G(y)\dot{y} + r(y) = 0 \quad (1)$$

ただし、 y は n 次元ベクトルであり、 $r(y) = Bf(\sigma)$, $\sigma = B^T y$, $f^T(\sigma) = [f_1(\sigma_1), f_2(\sigma_2), \dots, f_m(\sigma_m)]$, $G(y) (> 0)$ はある行列 $D(n \times m)$, $B(n \times m)$ を用いて、

$$G(y) = D \begin{bmatrix} g_1(\sigma_1) \\ g_2(\sigma_2) \\ \vdots \\ g_m(\sigma_m) \end{bmatrix} B^T$$

$$= D \{ \text{diag}[g_i(\sigma_i)] \} B^T$$

と書けるものとする。

また、非線形関数 $g_i(\sigma_i)$, $f_i(\sigma_i)$ は連続で微分可能な関数であり、次の性質を満足するものとする。

I. $\sigma_i \neq 0$ に対し、 $g_i(\sigma_i) > 0$

II. $\sigma_i \neq 0$ に対し、 $\sigma_i f_i(\sigma_i) > 0$

III. $|\sigma_i| \rightarrow \infty$ のとき $|f_i(\sigma_i)| \rightarrow \infty$

ただし

$$\psi_i(\sigma_i) = \int_0^{\sigma_i} g_i(\sigma) d\sigma$$

次に、 $y = x_1$, $\dot{y} = x_2$ と置き換えて(1)式を次式の連立方程式に変形する。

$$\dot{x} = h(x) \quad (h(0) = 0) \quad (2)$$

ここで、 $\dot{x} = [\dot{x}_1^T, \dot{x}_2^T]^T$, $h(x) = [h_1^T, h_2^T]^T$ とする。
ただし

$$x_i = [x_{i1}, x_{i2}, \dots, x_{in}]^T$$

$$h_i = [h_{i1}, h_{i2}, \dots, h_{in}]^T$$

3. ラグランジュ・シャルビ法

ラグランジュ・シャルビ法によれば、リアブノフ関数 V は偏微分方程式

$$F(x, V, P) = P^T h(x) + \psi(x) = 0 \quad (3)$$

を解くことによって求められる。ここで、 $P = \partial V / \partial x = [P_1^T, P_2^T]^T$, $h(x) = [h_1^T, h_2^T]^T$, $x = [x_1^T, x_2^T]^T$ であり、 $\psi (= -V)$ は任意の非負値関数である。また $P_i = [P_{i1}, P_{i2}, \dots, P_{in}]^T$ である。

(3)式を解くことは困難なので、解き易くするため次の特性微分方程式を考える。

$$\begin{aligned} \frac{dx_{11}}{\partial F} &= \dots = \frac{dx_{1n}}{\partial F} = \frac{dx_{21}}{\partial F} = \dots = \frac{dx_{2n}}{\partial F} \\ \frac{-dP_{11}}{\partial x_{11} + P_{11} \frac{\partial F}{\partial V}} &= \dots = \frac{-dP_{1n}}{\partial x_{1n} + P_{1n} \frac{\partial F}{\partial V}} \\ \frac{-dP_{21}}{\partial x_{21} + P_{21} \frac{\partial F}{\partial V}} &= \dots = \frac{-dP_{2n}}{\partial x_{2n} + P_{2n} \frac{\partial F}{\partial V}} \end{aligned} \quad (4)$$

このとき $\partial F / \partial x_{11}$, $\partial F / \partial x_{12}$, \dots , $\partial F / \partial x_{2n}$ はそれぞれ $\partial \psi / \partial x_{11}$, $\partial \psi / \partial x_{12}$, \dots , $\partial \psi / \partial x_{2n}$ を含む。

もし(4)式により少なくとも P の一つの成分を含む $2n-1$ 個の式

$$\left. \begin{aligned} Z_1(x, V, P, \partial \psi / \partial x) &= 0 \\ Z_2(x, V, P, \partial \psi / \partial x) &= 0 \\ \dots & \\ Z_{2n-1}(x, V, P, \partial \psi / \partial x) &= 0 \end{aligned} \right\} \quad (5)$$

が導出されるならば、未知関数 $\partial \psi / \partial x$, ψ は次のヤコビの括弧式が零になる条件を満足し、かつ ψ が非負値関数となるよう決定される。

$$\begin{aligned} [Z_i, Z_j] &= \sum_{k=1}^2 \left(\left[\frac{dZ_i}{dx_k} \right]^T \frac{\partial Z_m}{\partial P_k} - \left[\frac{dZ_j}{dx_k} \right]^T \frac{\partial Z_i}{\partial P_k} \right) = 0 \\ [Z_i, F] &= \sum_{k=1}^2 \left(\left[\frac{dZ_i}{dx_k} \right]^T \frac{\partial F}{\partial P_k} - \left[\frac{dF}{dx_k} \right]^T \frac{\partial Z_i}{\partial P_k} \right) = 0 \end{aligned} \quad (6)$$

ここで、 $i, j, = 1, 2, \dots, 2n-1, i \neq j$ であり

$$\frac{dZ_i}{dx_k} = \frac{\partial Z_i}{\partial x_k} + P_k \frac{\partial Z_i}{\partial V} \quad (7)$$

である。

ψ が決定されたあと、もし(3), (5)式から

$$P = P(x, V) \quad (8)$$

として求められるならば

$$\mathbf{P}^T d\mathbf{x} = (\nabla V)^T d\mathbf{x} \quad (9)$$

は積分可能であり、リアブノフ関数 V とその時間微分 dV/dt は

$$V(\mathbf{x}) = \int_0^x \mathbf{P}^T d\mathbf{x} \quad (10)$$

$$\dot{V}(\mathbf{x}) = -\psi(\mathbf{x})$$

として与えられる。この時点で V はリアブノフの条件を満たしているものとする。

4. Liénard 方程式の一般化リアブノフ関数

(1)式の簡単な例として、次の Liénard の方程式を考える。

$$\ddot{y} + g(y)\dot{y} + f(y) = 0 \quad (11)$$

上式を $y = x_1$, $\dot{y} = x_2$ と置き換えて(2)式の形に書き直せば

$$\begin{bmatrix} \dot{x}_1 \\ \dot{x}_2 \end{bmatrix} = \begin{bmatrix} x_2 \\ -g(x_1)x_2 - f(x_1) \end{bmatrix} \quad (12)$$

となる。

そこで、リアブノフ関数の構成法の一つであるラグランジュ・シャルビ法を用い、一般化リアブノフ関数 V を(3)式の偏微分方程式を用いて求める。このとき(4)式の特性微分方程式は $\partial F/\partial V = 0$ となるので

$$\begin{aligned} \frac{dx_1}{x_2} &= \frac{dx_2}{-g(x_1)x_2 - f(x_1)} \\ &= \frac{dP_1}{(g'(x_1)x_2 + f(x_1))P_2 - \partial\psi/\partial x_1} \\ &= \frac{dP_2}{g(x_1)P_2 - P_1 - \partial\psi/\partial x_2} \end{aligned} \quad (13)$$

となる。ただし、 $f'(x_1) = df(x_1)/dx_1$, $g'(x_1) = dg(x_1)/dx_1$ である。(13)式より 2 個の偏微分方程式を得る。

$$\left. \begin{aligned} Z_1 &= \alpha\phi(x_1) + \beta x_2 - P_2 = 0 \\ Z_2 &= \alpha\phi'(x_1)x_2 - \beta(g(x_1)x_2 + Pf(x_1)) \\ &\quad - g(x_1)P_2 + P_1 + \partial\psi/\partial x_2 = 0 \end{aligned} \right\} \quad (14)$$

ここで、 α , β は任意定数、 $\phi(x_1)$ は任意関数、 $\phi'(x_1) = d\phi(x_1)/dx_1$ である。これまで、 $\phi(x_1)$ は x_1 の一次関数で表わされていたが、ここでは $\phi(x_1)$ を任意関数と置くことにより、 x_1 の一次関数以外の形もとることができる。

次に、 F と Z_1, Z_2 に対して(6)式を適用すれば、

$$[Z_1, Z_2] = 2(\beta g(x_1) - d\phi'(x_1)) - \frac{\partial^2 \psi}{\partial x_2^2} = 0 \quad (15-a)$$

$$\begin{aligned} [Z_2, F] &= \{\alpha\phi''(x_1) - \beta g'(x_1)\}x_2^2 + \frac{\partial^2 \psi}{\partial x_1 \partial x_2} x_2 \\ &\quad - \frac{\partial \psi}{\partial x_1} + \alpha(\phi(x_1)f'(x_1) + \phi'(x_1)f(x_1)) = 0 \end{aligned} \quad (15-b)$$

が導かれる。ただし $f'(x_1) = df(x_1)/dx_1$, $\phi''(x_1) = d\phi'(x_1)/dx_1$ である。

上式より ψ を決定すれば

$$\left. \begin{aligned} \frac{\partial \psi}{\partial x_2} &= 2(\beta g(x_1) - \alpha\phi'(x_1))x_2 + \phi(x_1) \\ \psi &= \{\beta g(x_1) - \alpha\phi'(x_1)\}x_2^2 + \phi(x_1)x_2 \\ &\quad + \alpha\phi(x_1)f(x_1) \end{aligned} \right\} \quad (16)$$

となる。ここで $\phi(x_1)$ は任意関数であるり、

$$\beta g(x_1) - \alpha\phi'(x_1) > 0, \alpha f(x_1)\phi(x_1) > 0 \quad (17)$$

を満足するものとする。

そこで、 ψ を平方形にするように $\phi(x_1)$ を

$$\phi(x_1) = -2\sqrt{K(x_1)}\alpha\phi(x_1)f(x_1) \quad (18)$$

$$\text{ただし, } K(x_1) = \beta g(x_1) - \alpha - \phi'(x_1)$$

に選べば、 ψ は次式のようになる。

$$\psi = [\sqrt{(x_1)Kx_2} - \sqrt{\alpha\phi(x_1)f(x_1)}]^2 \quad (19)$$

$$\text{ここで, } K(x_1) = \beta g(x_1) - \alpha\phi'(x_1)。$$

また、(14), (15)式の関数を用いて

$$\left. \begin{aligned} P_1 &= \alpha g(x_1)\phi(x_1) + \alpha\phi'(x_1) + \beta f(x_1) \\ &\quad + 2\sqrt{K(x_1)}\alpha\phi(x_1)f(x_1) \\ P_2 &= \alpha\phi(x_1) + \beta x_2 \end{aligned} \right\} \quad (20)$$

を得る。ここで、得られるリアブノフ関数の形を整えるため、 $\alpha = 1$, $\beta = 1$ と置き換え、上式に(10)式を適用して、次の一般化リアブノフ関数 V を得る。

$$\begin{aligned} V &= \frac{1}{2}\{x_2 + \phi(x_1)\}^2 + \int_0^{x_1} f(x_1) dx_1 \\ &\quad + \int_0^{x_1} \phi(x_1) K(x_1) dx_1 \\ &\quad + 2 \int_0^{x_1} \sqrt{\phi(x_1) K(x_1) f(x_1)} dx_1 \end{aligned} \quad (21)$$

$$\dot{V} = -\psi = -[\sqrt{K(x_1)} x_2 - \sqrt{\phi(x_1)f(x_1)}]^2 \quad (22)$$

ここで、(17)式より $\phi(x_1)$ と $K(x_1)$ は条件

$$\left. \begin{aligned} f(x_1)\phi(x_1) &> 0 \quad (x_1 \neq 0) \\ K(x_1) &= g(x_1) - \phi'(x_1) \geq 0 \end{aligned} \right\} \quad (23)$$

を満足するものとする。

つぎに V の正定性について証明する。 (21) 式の V における右辺第2項以下の項の和を V_0 とおけば、

$$V_0 = \int_0^{x_1} H(x_1) dx_1 \quad (24)$$

ただし

$$H(x_1) = \phi(x_1)K(x_1) + f(x_1) + 2\sqrt{\phi(x_1)K(x_1)f(x_1)} \quad (25)$$

と書くことができ、さらに (25) 式は

$$H(x_1) = \begin{cases} [\sqrt{\phi(x_1)K(x_1)} + \sqrt{f(x_1)}]^2 & (x_1 \geq 0) \\ [\sqrt{-\phi(x_1)K(x_1)} - \sqrt{-f(x_1)}]^2 & (x_1 < 0) \end{cases} \quad (26)$$

の形で変形できるので、 $x_1 H(x_1) \geq 0$ が成り立つ領域内において V_0 は正の値をとる。従って V は正定数となる。また、 (21) 式のリアブノフ関数 V がこれまで報告されているリアブノフ関数の一般形となっていることを示すため、任意関数 $\phi(x_1)$ を次のように選ぶ。すなわち、 $\phi_1 = 0$ とおくとよく知られた次式のエネルギー関数となる。

$$V = \frac{1}{2}x_1^2 + \int_0^{x_1} f(x_1) dx_1 \equiv V_1 \quad (27)$$

次に

$$\phi = \int_0^{x_1} g(x_1) dx_1 \equiv \Gamma(x_1) \quad (\equiv \phi_2)$$

とおくと

$$V = \frac{1}{2}(x_2 + \Gamma(x_1))^2 + \int_0^{x_1} f(x_1) dx_1 \equiv V_2 \quad (28)$$

となり Zubov 法の方法によって得られる結果²⁾と一致する。また、 $\phi = \eta \Gamma(x_1)$ ($\equiv \phi_3$) (η : 定数、 $0 \leq \eta \leq 1$) とおくと

$$\begin{aligned} V &= \frac{1}{2}(x_2 + \eta \Gamma(x_1))^2 + \int_0^{x_1} f(x_1) dx_1 \\ &\quad + \frac{1}{2}\eta(1-\eta)\Gamma^2(x_1) \\ &\quad + 2\sqrt{\eta(1-\eta)} \int_0^{x_1} \sqrt{g(x_1)\Gamma(x_1)f(x_1)} dx_1 \\ &\equiv V_3 \end{aligned} \quad (29)$$

となり、宮城・谷口⁶⁾らの結果と一致する。さらに、 $\phi = \lambda(x_1)\Gamma(x_1)$ ($\equiv \phi_4$) ($\lambda(x_1) \geq 0$ が条件 (23) 式を満足するような関数) とおけば

$$\begin{aligned} V &= \frac{1}{2}(x_2 + \lambda(x_1)\Gamma(x_1))^2 + \int_0^{x_1} f(x_1) dx_1 \\ &\quad + \int_0^{x_1} \lambda(x_1)\Gamma(x_1)K(x_1) dx_1 \end{aligned}$$

$$\begin{aligned} &+ 2 \int_0^{x_1} \sqrt{\lambda(x_1)\Gamma(x_1)K(x_1)f(x_1)} dx_1 \\ &\equiv V_4 \end{aligned} \quad (30)$$

となり、川本らの結果⁵⁾と一致する。

そして、 (27) ~ (29) 式における ϕ_i ($i=1 \sim 4$) は (23) 式の条件を満足するように選んだものであり、その形以外の例として任意関数 ϕ_1 を次のように選ぶ。すなわち、 $\phi = g(x_1)\tanh(x_1)$ ($\equiv \phi_5$)。このように (21) 式の V がこれまで報告されているリアブノフ関数の一般形となっていることがわかる。

5. 任意関数と漸近安定領域

(23) 式の条件を満足するように選ばれた任意関数 ϕ_i に対するリアブノフ関数 V_i が与える漸近安定領域はそれぞれ異なる。そこで、異なる任意関数 ϕ_i とリアブノフ関数 V_i が与える漸近安定領域との関係を考察するために、任意関数 ϕ_i ($i=1, 2, \dots, 5$) を Fig. 1 に示し、その ϕ_i に対する V_i が与える漸近安定領域を Fig. 2 に示す。このとき、 (11) 式のシステムにおいて $g(x_1) = D$ とおき、 $D = 0.3, f(x_1) = \sin(x_1 + \delta) - \sin\delta$ ($\delta = 0.412$) とした。さらに、おののの V_i が保証する漸近安定領域の境界上における時間導関数 \dot{V}_i の値を求めた結果を Fig. 3 に示した。

Fig. 1 と Fig. 2 からわかるように、第一、第三象限に存在する任意関数 ϕ の選び方によって漸近安定領域は変化し、直線である ϕ_1, ϕ_2, ϕ_3 が与えるリアブノフ関数よりも、むしろひずんだ ϕ_4, ϕ_5 が与えるそれぞれのリアブノフ関数の保証する漸近安定領域が広い

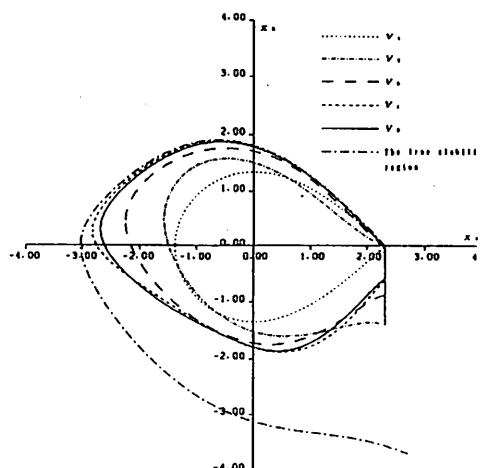
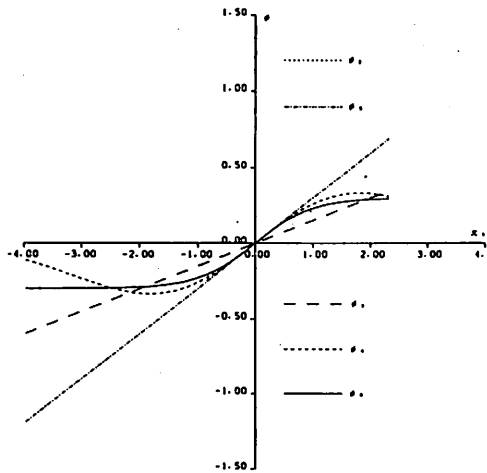
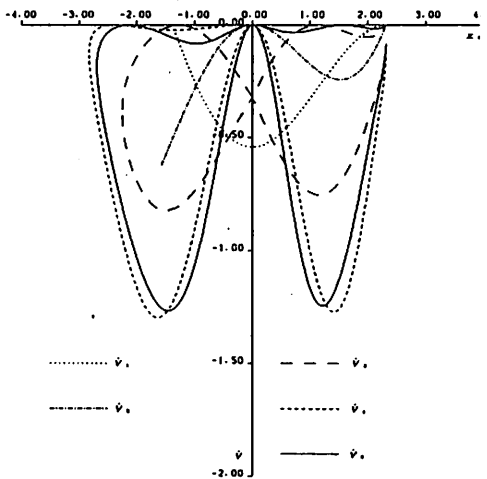


Fig. 1 Asymptotic stability regions

Fig. 2 Arbitrary functions $\phi(x_1)$ Fig. 3 Values of \bar{V} on the asymptotic stability regions

ことがわかる。また、Fig. 3 から、漸近安定領域の境界が真の安定領域の境界に近接するほど、リアブノフ関数の時間微分値が 0 に近いことがわかる。これは、真の安定境界がシステムの解曲線の一つであり、 $\dot{V}(x) = 0$ となるリアブノフ関数 V がシステムの解と密接な関係にあると思われるからである。したがって、広い漸近安定領域を得るためにには、リアブノフ関数の時間微分値が 0 になるように任意関数 ϕ を選ぶようになるとよい。

6. Liénard 形非線形システムのリアブノフ関数

ここでは、4 節と同様な手法を用い、それらを包含する一般化リアブノフ関数 V を(3)式を用いて求める。このとき(4)式の特性方程式は $\partial F / \partial V = 0$ となるので

$$\begin{aligned} \frac{dx_{11}}{h_{11}(x)} &= \cdots = \frac{dx_{1n}}{h_{1n}(x)} = \frac{dx_{21}}{h_{21}(x)} = \cdots = \frac{dx_{2n}}{h_{2n}(x)} \\ &= \frac{-dP_{11}}{\partial F / \partial x_{11}} = \cdots = \frac{-dP_{1n}}{\partial F / \partial x_{1n}} \\ &= \frac{-dP_{21}}{\partial F / \partial x_{21}} = \cdots = \frac{-dP_{2n}}{\partial F / \partial x_{2n}} \end{aligned} \quad (31)$$

となり、これより $2n$ 個の偏微分方程式

$$\left. \begin{aligned} Z^1 &= \alpha D \{ \text{diag}[\phi_i(\sigma_i)] \} 1 + \beta x_2 - P_2 = 0 \\ Z^2 &= \alpha \Phi'(\sigma) x_2 - \beta \{ G(x_1) x_2 + Bf(\sigma) \} \\ &\quad + P_1 - G(x_1) P_2 + \partial \psi / \partial x_2 = 0 \end{aligned} \right\} \quad (32)$$

を得る。ここで、 $Z^1 = [Z_1, Z_2, \dots, Z_n]^T$, $Z^2 = [Z_{n+1}, \dots, Z_{2n}]^T$, α, β は任意定数, 1 はすべての要素を 1 とする列ベクトルであり,

$$\begin{aligned} \Phi'(\sigma) &= D \{ \text{diag}[\phi'_i(\sigma_i)] \} B^T \\ \phi'_i(\sigma_i) &= d\phi_i(\sigma_i) / d\sigma_i \end{aligned}$$

である。次に、 F と Z^1, Z^2 に対して(6)式を適用すれば

$$[Z^1, Z^2] = 2(\beta G(x_1) - \alpha \Phi'(\sigma)) - \frac{\partial^2 \psi}{\partial x_2^2} = 0$$

$$[Z^2, F] = \begin{bmatrix} x_1^T \left[\alpha \frac{\partial \Phi'(\sigma)}{\partial x_{11}} - \beta \frac{\partial G(x_1)}{\partial x_{11}} \right] x_2 \\ x_1^T \left[\alpha \frac{\partial \Phi'(\sigma)}{\partial x_{12}} - \beta \frac{\partial G(x_1)}{\partial x_{12}} \right] x_2 \\ \vdots \\ x_1^T \left[\alpha \frac{\partial \Phi'(\sigma)}{\partial x_{1n}} - \beta \frac{\partial G(x_1)}{\partial x_{1n}} \right] x_2 \end{bmatrix}$$

$$+ \frac{\partial^2 \psi}{\partial x_1 \partial x_2} x_2 - \frac{\partial \psi}{\partial x_1} + \alpha \frac{\partial \left[\sum_{i=1}^m \lambda_i \phi_i(\sigma_i) f_i(\sigma_i) \right]}{\partial x_1} = 0 \quad (33)$$

が導かれる。ただし、 $[Z^1, Z^2]$, $[Z^2, F]$ は次のように表せるものとする。

$$[Z^1, Z^2] \equiv \begin{bmatrix} Z_{n+1}, Z_1, \dots, Z_{n+1}, Z_n \\ \vdots \\ Z_{2n}, Z_1, \dots, Z_{2n}, Z_n \end{bmatrix} \quad (34)$$

$$[Z^2, F] \equiv \begin{bmatrix} [Z_{n+1}, F] \\ \vdots \\ [Z_{2n+1}, F] \end{bmatrix}$$

上式より ϕ を決定すれば

$$\begin{aligned} \frac{\partial \phi}{\partial x_2} & 2(\beta G(x_1) - \alpha \Phi'(x_1))x_2 + B\Omega(x_1) \\ \phi & = x_1^T (\beta G(x_1) - \alpha \Phi'(x_1))x_2 + \Omega(x_1)B^T x_2 \\ & + \alpha \sum_{i=1}^m \lambda_i \phi_i(\sigma_i) f_i(\sigma_i) \\ & = \dot{\sigma}^T (\text{diag}[\beta g_i(\sigma_i) - \alpha \phi'_i(\sigma_i)]) \dot{\sigma} \\ & + \Omega^T(x_1) \dot{\sigma} + \alpha \sum_{i=1}^m \lambda_i \phi_i(\sigma_i) f_i(\sigma_i) \end{aligned} \quad (35)$$

となる。ここで、 $\Omega(x_1)$ は任意ベクトル関数であり、

$$\beta g_i(\sigma_i) - \alpha \phi'_i(\sigma_i) > 0, \alpha \phi_i(\sigma_i) f_i(\sigma_i) > 0 \quad (36)$$

を満足するものとする。

そこで、 ϕ を平方形にするように $\Omega(x_1)$ を

$$\Omega(x_1) = \begin{bmatrix} -2\sqrt{K_1(\sigma_1)} \alpha \lambda_1 \phi_1(\sigma_1) f_1(\sigma_1) \\ -2\sqrt{K_2(\sigma_2)} \alpha \lambda_2 \phi_2(\sigma_2) f_2(\sigma_2) \\ \vdots \\ -2\sqrt{K_m(\sigma_m)} \alpha \lambda_m \phi_m(\sigma_m) f_m(\sigma_m) \end{bmatrix} \quad (37)$$

ただし、 $K_i(\sigma_i) = \beta g_i(\sigma_i) - \alpha \phi'_i(\sigma_i)$ に選定すれば、 ϕ は次式のようになる。

$$\phi = \sum_{i=1}^m \left[\sqrt{K_i(\sigma_i)} \dot{\sigma}_i - \sqrt{\lambda_i} \phi_i(\sigma_i) f_i(\sigma_i) \right]^2 \quad (38)$$

また、(32), (33)式の関係を用いて

$$\begin{aligned} P_1 & = \alpha G(x_1) D \{ \text{diag}[\phi_i(\sigma_i)] \} 1 + \alpha \Phi'(x_1) x_2 \\ & + \beta B f(\sigma) - B \Omega(x_1) \end{aligned} \quad (39)$$

$$P_2 = \alpha D \{ \text{diag}[\phi_i(\sigma_i)] \} 1 + \beta x_2$$

を得る。ここで、得られるリアブノフ関数の形を整えるため $\alpha = 1, \beta = 1$ と置き換える、上式の(10)式を適用して次式の一般化リアブノフ関数 V を得る。

$$\begin{aligned} V & = \frac{1}{2} (x_2 + D \{ \text{diag}[\phi_i(\sigma_i)] \} 1)^T (x_2 + D \{ \text{diag}[\phi_i(\sigma_i)] \} 1) \\ & + \sum_{i=1}^m \int_0^{\sigma_i} \lambda_i K_i(\sigma_i) \phi_i(\sigma_i) d\sigma_i + \int_0^{\sigma} f^T(\sigma) d\sigma \\ & + 2 \sum_{i=1}^m \int_0^{\sigma_i} \sqrt{\lambda_i K_i(\sigma_i)} \phi_i(\sigma_i) f_i(\sigma_i) d\sigma_i \end{aligned} \quad (40)$$

また、その時間導関数は

$$\dot{V} = - \sum_{i=1}^m [\sqrt{K_i(\sigma_i)} \dot{\sigma}_i - \sqrt{\lambda_i} \phi_i(\sigma_i) f_i(\sigma_i)]^2 \quad (41)$$

となる。ここで、 $\phi_i(\sigma_i)$ は任意関数、(36)式より $\phi_i(\sigma_i)$ と $K_i(\sigma_i)$ は条件

$$\left. \begin{aligned} \sigma_i \phi_i(\sigma_i) & > 0 \quad (\sigma_i \neq 0) \\ K_i(\sigma_i) & = g_i(\sigma_i) - d\phi_i(\sigma_i)/d\sigma_i \geq 0 \end{aligned} \right\} \quad (42)$$

を満足するものとする。

次に、 V の正定値性について証明する。(40)式の V における右辺第2項以下の項の和を V_0 と置けば

$$V_0 = \sum_{i=1}^m \int_0^{\sigma_i} H_i(\sigma_i) d\sigma_i \quad (43)$$

と書くことができる。ここで

$$\begin{aligned} H_i(\sigma_i) & = \lambda_i K_i(\sigma_i) \phi_i(\sigma_i) + f_i(\sigma_i) \\ & + \sqrt{\lambda_i K_i(\sigma_i)} \phi_i(\sigma_i) f_i(\sigma_i) \end{aligned} \quad (44)$$

である。さらに $H_i(\sigma_i)$ は

$$H_i(\sigma_i) = \begin{cases} [\sqrt{\lambda_i} \phi_i(\sigma_i) K_i(\sigma_i) + \sqrt{f_i(\sigma_i)}]^2 & (\sigma_i \geq 0) \\ -[\sqrt{-\lambda_i} \phi_i(\sigma_i) K_i(\sigma_i) - \sqrt{-f_i(\sigma_i)}]^2 & (\sigma_i < 0) \end{cases} \quad (45)$$

の形に変形できるので、 $\sigma_i H_i(\sigma_i) \geq 0$ が成り立つ領域内において V_0 は正の値をとる。従って V は定値となる。また、得られた(40)式のリアブノフ関数 V において、任意関数 $\phi_i(\sigma_i)$ を次のように選ぶと

$$\phi_i(\sigma_i) = \alpha' \int_0^{\sigma_i} g_i(\sigma_i) d\sigma_i \quad (0 \leq \alpha' \leq 1)$$

宮城⁷⁾らの結果と一致する。これより、 $D^T B = \text{diag}[\lambda_i]$ (λ_i : 正の定数)、 $D = B$ を満足する(1)式のシステムに対して、(40)式の V がこれまで報告されているリアブノフ関数の一般形となっていることがわかる。

7. 例題システムへの適用

ここでは、文献 7において $D^T B = \text{diag}[\lambda_i]$ (λ_i : 正の定数)、 $D = B$ を満足する y が二次ベクトルである次のシステムを考える。

$$\left. \begin{aligned} \ddot{y}_1 + (g_1(\sigma_1) + g_2(\sigma_2)) \dot{y}_1 + (g_1(\sigma_1) - g_2(\sigma_2)) \dot{y}_2 \\ + f_1(\sigma_1) - f_2(\sigma_2) = 0 \\ \ddot{y}_2 + (g_1(\sigma_1) + g_2(\sigma_2)) \dot{y}_1 + (g_1(\sigma_1) - g_2(\sigma_2)) \dot{y}_2 \\ + f_1(\sigma_1) - f_2(\sigma_2) = 0 \end{aligned} \right\} \quad (46)$$

ただし、 $\sigma_1 = y_1 + y_2, \sigma_2 = y_2 - y_1$ である。

上式を(1)式の形に書き改めると

$$\begin{aligned} \begin{bmatrix} \ddot{y}_1 \\ \ddot{y}_2 \end{bmatrix} & + \begin{bmatrix} 1 & -1 \\ 1 & 1 \end{bmatrix} \begin{bmatrix} g_1(\sigma_1) & 0 \\ 0 & g_2(\sigma_2) \end{bmatrix} \begin{bmatrix} 1 & 1 \\ -1 & 1 \end{bmatrix} \begin{bmatrix} \dot{y}_1 \\ \dot{y}_2 \end{bmatrix} \\ & + \begin{bmatrix} 1 & -1 \\ 1 & 1 \end{bmatrix} \begin{bmatrix} f_1(\sigma_1) \\ f_2(\sigma_2) \end{bmatrix} = \begin{bmatrix} 0 \\ 0 \end{bmatrix} \end{aligned} \quad (47)$$

となるので

$$\mathbf{D} = \mathbf{B} = \begin{bmatrix} 1 & -1 \\ 1 & 1 \end{bmatrix}, \quad \mathbf{D}^T \mathbf{B} = \begin{bmatrix} 2 & 0 \\ 0 & 2 \end{bmatrix}$$

が成立することがわかる。したがって、(40式から導かれるリアブノフ関数は次式のようになる。

$$\begin{aligned} V = & \frac{1}{2} \left\{ [x_{21} + \phi_1(\sigma_1) - \phi_2(\sigma_2)]^2 + [x_{22} + \phi_1(\sigma_1) \right. \\ & \left. + \phi_2(\sigma_2)]^2 \right\} \\ & + 2 \left\{ \int_0^{\sigma_1} K_1(\sigma_1) \phi_1(\sigma_1) d\sigma_1 + \int_0^{\sigma_2} K_2(\sigma_2) \phi_2(\sigma_2) d\sigma_2 \right\} \\ & + \int_0^{\sigma_1} f_1(\sigma_1) d\sigma_1 + \int_0^{\sigma_2} f_2(\sigma_2) d\sigma_2 \\ & + 2 \left\{ \int_0^{\sigma_1} \sqrt{2K_1(\sigma_1)\phi_1(\sigma_1)f_1(\sigma_1)} d\sigma_1 \right. \\ & \left. + \int_0^{\sigma_2} \sqrt{2K_2(\sigma_2)\phi_2(\sigma_2)f_2(\sigma_2)} d\sigma_2 \right\} \end{aligned} \quad (48)$$

また、(48式の時間導関数を求める

$$\begin{aligned} \dot{V} = & - \left\{ [\sqrt{K_1(\sigma_1)} \dot{\sigma}_1 - \sqrt{2\phi_1(\sigma_1)f_1(\sigma_1)}]^2 \right. \\ & \left. + [\sqrt{K_2(\sigma_2)} \dot{\sigma}_2 - \sqrt{2\phi_2(\sigma_2)f_2(\sigma_2)}]^2 \right\} \end{aligned} \quad (49)$$

となる。

8. 結 言

本論文では、Liénard 形非線形システムの一般化リアブノフ関数をラグランジュ・シャルビ法を用いて構成した。その一般化リアブノフ関数に含まれる任意関数とその任意関数が与えるリアブノフ関数が保証する漸近安定領域の関係も考察した。リアブノフ関数が保

証する漸近安定領域は任意関数の選び方によって変化し、直接的な任意関数が与えるリアブノフ関数よりもひずんだ任意関数が与えるリアブノフ関数の方がより広い漸近安定領域を保証することがわかった。また、漸近安定領域の境界上におけるリアブノフ関数の時間微分値を求め、時間微分値の小さい方より真に近い安定領域を与えていることも示した。さらに、リアブノフ関数のしきい値が大きい方がより広い漸近安定領域を得る一つの目安となることも示した。

参考文献

- 1) M. A. Pai, M. Ananda Mohan and J. Gopala : IEEE Trans. Power Apparatus and Systems, PAS-89-5, 788/794 (1970)
- 2) F. S. Prabhakara, A. H. El-Abiad, and A. J. Koivo : INT. J. CONTROL, vol. 20, No.2, 203/212 (1974)
- 3) D. G. Schultz, J. E. Gibson : Trans. AIEE, Vol. 81, pt. II, pp.203/210 (1962)
- 4) J. ラサール, S. レフシェツ ; 山本稔訳 : 産業図書, 17/65 (1975)
- 5) S. Kawamoto, A. Ishigami, T. Imoto and T. Taniguchi : Trans. I. E. E. of Japan, Vnl. 109, NO. 3/4, 38/39 (1989)
- 6) H. Miyagi and T. Taniguchi : INT. J. Control, vol. 32, No. 2, 371/379 (1980)
- 7) 宮城・宮城 : 日本機械学会論文集 [C], 109/113 (1990)